

# Modelos de regressão para dados discretos (parte 5) (sub/superdispersão): dados binários

Prof. Caio Azevedo

# Superdispersão (ou sobredispersão) e subdispersão

- Quando a variável resposta apresenta variância maior (sobre/super) ou menor (sub) do que aquela imposta pelo modelo probabilístico (de referência).
- No caso do modelos de regressão para dados binários, em que assume-se que  $Y_i \stackrel{ind.}{\sim} \text{binomial}(m_i, \mu_i)$ ,  $i = 1, 2, \dots, n$ , tem-se que  $\mathcal{V}(Y_i) = m_i\mu_i(1 - \mu_i)$ .
- No caso do **Exemplo 8 (dos besouros)**,  $n = 8$  e  $m_i \in \{59, 60, 62, 56, 63, 59, 62, 60\}$ .

## Cont.

- Portanto, espera-se que as variâncias amostrais não sejam distantes desse valor.
- Entretanto, do ponto de vista descritivo, muitas vezes não é simples verificar se se isso ocorre a menos que disponhamos das observações individuais que geraram as contagens binomiais.

## Cont.

- Do ponto de vista inferencial, quando o desvio  $D(\mathbf{y}; \tilde{\boldsymbol{\mu}})$  é maior que o número de graus de liberdade ( $n-p$ ), pode indicar presença de sobredispersão.
- Isso pode ser avaliado mais precisamente pelo nível descritivo do teste de ajustamento através do desvio (utilizando de sua aproximação pela distribuição de qui-quadrado, quando pertinente).
- O gráfico de envelopes e os de diagnóstico também podem fornecer indícios da existência de superdispersão.
- Diferentes circunstâncias, entretanto, podem causar um valor alto para o desvio. Algumas delas representam uma sobredispersão aparente (veja slide seguinte).

## Cont.

- Presença de pontos aberrantes, ausência de covariáveis relevantes ou de algum termo na parte sistemática ( $\eta_i$ ), incorreta especificação da função de ligação.
- A superdispersão também pode ser causada por: existência de subgrupos com diferentes distribuições, dependência entre as observações, características latentes (não observáveis diretamente) presentes nas unidades experimentais, fatores não controlados no experimento dentre outros.
- Medidas de diagnóstico, vistas anteriormente, são ferramentas importantes para detectarmos o fenômeno.

# Consequências de superdispersão (Hinde e Demétrio (1998))

- Os erros-padrão estimados (a partir do modelo) podem ser (muito) subestimados consequentemente, podemos avaliar incorretamente a importância dos parâmetros (significância).
- Podem ocorrer (grandes) mudanças no valor do desvio as quais podem conduzir à seleção de modelos extremamente complexos.
- Finalmente, podemos selecionar modelos inapropriados e as previsões podem ser (falsamente) “precisas” (menor comprimento dos intervalos de confiança).

## Caso I

- Vamos supor inicialmente a existência de  $n$  grupos (contagens binomiais) de modo que para o  $i$ -ésimo grupo sejam observadas  $m_i$  repetições de uma variável aleatória  $Y_{ij} \sim \text{Bernoulli}(\mu_i)$ , assim,  $\mathcal{E}(Y_{ij}) = \mu_i$  e  $\mathcal{V}(Y_{ij}) = \mu_i(1 - \mu_i)$ ,  $i = 1, 2, \dots, n; j = 1, 2, \dots, m_i$ . O número total de sucessos no  $i$ -ésimo grupo será definido por

$$Y_i = Y_{i1} + \dots + Y_{im_i}.$$

- Supondo, adicionalmente, a existência de correlação entre as réplicas de Bernoulli (de sorte que  $\text{Corre}(Y_{ij}, Y_{ik}) = \delta, \delta \in (-1, 1), \forall j \neq k$ , assim  $\text{Cov} = \delta\mu_i(1 - \mu_i))$ , então

# Caso I

$$\begin{aligned}\mathcal{V}(Y_i) &= \sum_{j=1}^{m_i} \mathcal{V}(Y_{ij}) + \sum_{j=1}^{m_i} \sum_{k=1, k \neq j}^{m_i} \text{Cov}(Y_{ij}, Y_{ik}) \\ &= \sum_{j=1}^{m_i} \mu_i(1 - \mu_i) + \sum_{j=1}^{m_i} \sum_{k=1, k \neq j}^{m_i} \delta \mu_i(1 - \mu_i) \\ &= m_i \mu_i(1 - \mu_i) + m_i(m_i - 1) \delta \mu_i(1 - \mu_i) \\ &= \sigma_i^2 m_i \mu_i(1 - \mu_i),\end{aligned}$$

em que  $\sigma_i^2 = 1 + (m_i - 1)\delta$ .

## Caso I

- Se for exigido que  $\sigma_i^2 > 0$ , então devemos ter  $1 + (m_i - 1)\delta > 0$ , o que implica que  $\delta > -1/(m_i - 1)$  e, portanto, teremos
$$-\frac{1}{m_i - 1} < \delta < 1.$$
- Logo,  $\delta$  poderá assumir valores negativos apenas se houver  $m'_i$ s pequenos.
- Podemos notar que

$$\left\{ \begin{array}{l} \text{se } \sigma_i^2 > 1, \text{ tem-se superdispersão,} \\ \text{caso contrário tem-se subdispersão.} \end{array} \right.$$

## Caso II

- Vamos supor agora que  $p_i$  representa a probabilidade de sucesso nas respostas do  $i$ -ésimo grupo tal que  $\mathcal{E}(P_i) = \mu_i$  e  $\mathcal{V}(P_i) = \delta\mu_i(1 - \mu_i)$ ,  $\delta \geq 0$ .
- A quantidade  $P_i$ , neste caso, é dita ser uma variável latente (efeito aleatório).
- Assumimos ainda que  $Y_{ij}|P_i = p_i \sim \text{Bernoulli}(p_i)$ , o que implica que  $\mathcal{E}(Y_{ij}|p_i) = p_i$  e  $\mathcal{V}(Y_{ij}|p_i) = p_i(1 - p_i)$ . Portanto, temos que:

$$\begin{aligned}\mathcal{E}(Y_i) &= \mathcal{E}(\mathcal{E}(Y_i|P_i)) = \mathcal{E}\left(\mathcal{E}\left(\sum_{j=1}^{m_i} Y_{ij}|P_i\right)\right) = \mathcal{E}\left(\sum_{j=1}^{m_i} \mathcal{E}(Y_{ij}|P_i)\right) \\ &= m_i \mathcal{E}(P_i) = m_i \mu_i.\end{aligned}$$

## Cont.

- Além disso, temos que (lembrando que  $\mathcal{E}(P_i^2) = \mathcal{V}(P_i) + \mathcal{E}^2(P_i)$ ):

$$\begin{aligned}\mathcal{V}(Y_i) &= \mathcal{E}[\mathcal{V}(Y_i|P_i)] + \mathcal{V}(\mathcal{E}(Y_i|P_i)) \\ &= \mathcal{E}\left[\mathcal{V}\left(\sum_{j=1}^{m_i} Y_{ij}|P_i\right)\right] + \mathcal{V}\left[\mathcal{E}\left(\sum_{j=1}^{m_i} Y_{ij}|P_i\right)\right] \\ &= \mathcal{E}\left[\sum_{j=1}^{m_i} \mathcal{V}(Y_{ij}|P_i)\right] + \mathcal{V}\left[\sum_{j=1}^{m_i} \mathcal{E}(Y_{ij}|P_i)\right] \\ &= \mathcal{E}\left[\sum_{j=1}^{m_i} P_i(1 - P_i)\right] + \mathcal{V}\left[\sum_{j=1}^{m_i} P_i\right]\end{aligned}$$

(continua no próximo slide)

## Cont.

### ■ (Cont.)

$$\begin{aligned} &= m_i (\mu_i(1 - \delta)(1 - \mu_i)) + m_i^2 \delta \mu_i (1 - \mu_i) \\ &= m_i \mu_i (1 - \mu_i) [1 + \delta(m_i - 1)], \end{aligned}$$

que coincidem com os resultado do Caso I, considerando  $\delta > 0$ .

# Modelagem

- Devido à estrutura hierárquica apresentada anteriormente, uma candidato natural para o modelo probabilístico é a distribuição beta-binomial.
- Seja  $Y|X = x \sim \text{binomial}(m, x)$  e  $X \sim \text{beta}(a, b)$ .
- Então  $Y \sim \text{beta-binomial}(m, a, b) \equiv \text{bb}(m, a, b)$  (exercício), em que

$$\begin{aligned}f_y(y) &= \frac{\Gamma(m+1)}{\Gamma(y+1)\Gamma(m-y+1)} \frac{\Gamma(y+a)\Gamma(m-y+b)}{\Gamma(m+a+b)} \\&\times \frac{\Gamma(a+b)}{\Gamma(a)\Gamma(b)} \mathbb{1}_{\{0,1,2,3,\dots,m\}}(y).\end{aligned}$$

# Modelagem

- Temos que  $\mathcal{E}(Y) = m \frac{a}{(a+b)}$  e  $\mathcal{V}(Y) = \frac{mab(a+b+m)}{(a+b)^2(a+b+1)}$ .  
(exercício)
- Podemos definir uma reparametrização da distribuição beta-binomial de tal forma que  $\mathcal{E}(Y) = m\mu$  e que se tenha um parâmetro de dispersão ( $\sigma$ ), ou seja,  $a = \frac{\mu}{\sigma}$  e  $b = \frac{1-\mu}{\sigma}$ , então:

$$f_Y(y) = \frac{\Gamma(m+1)}{\Gamma(y+1)\Gamma(m-y+1)} \frac{\Gamma\left(y + \frac{\mu}{\sigma}\right)\Gamma\left(\frac{1}{\sigma}\right)\Gamma\left(m + \frac{1-\mu}{\sigma} - y\right)}{\Gamma\left(m + \frac{1}{\sigma}\right)\Gamma\left(\frac{\mu}{\sigma}\right)\Gamma\left(\frac{1-\mu}{\sigma}\right)} \\ \times \mathbb{1}_{\{0,1,2,\dots,m\}}(y)$$

# Modelagem

- Nesse caso,

$$\mathcal{E}(Y) = m\mu,$$

$$\mathcal{V}(Y) = \frac{m\mu(1-\mu)(1+m\sigma)}{1+\sigma} = m\mu(1-\mu) \left[ 1 + \frac{(m-1)\sigma}{1+\sigma} \right],$$

em que  $\sigma$  é um parâmetro de dispersão (provar).

- O interesse agora reside em modelar  $\mu_i$ , mantendo-se  $\sigma$  fixo ao longo das observações.
- Em termos práticos, à semelhança do modelo binomial, trabalha-se com a verossimilhança associada à  $Y_i^* = \frac{Y_i}{m_i}$ .

# Modelo de regressão beta binomial

- Sejam  $Y_i, i = 1, 2, \dots, n$ ,  $Y_i \stackrel{ind.}{\sim} \text{bb}(m_i, \mu_i, \sigma)$ .
- Temos que  $\mathcal{E}(Y_i^*) = \mu_i$  e  $\mathcal{V}(Y_i^*) = \mu_i(1 - \mu_i) \left[ 1 + \frac{(m_i - 1)\sigma}{1 + \sigma} \right]$ .
- $g(\mu_i) = \eta_i \rightarrow \mu = g^{-1}(\eta_i)$ ,  $\eta_i = \mathbf{X}'_i \boldsymbol{\beta}$  em que  $g(.)$ , em geral corresponde à  $F^{-1}(.)$ , ou seja, à inversa da fda associada à uma vac com suporte nos reais.
- Este modelo de regressão pertence à classe de modelos chamada de GAMLSS (“Generalized Additive Models for Location Scale and Shape”). Existe um pacote no R homônimo (**gamlss**).

# Inferência via MV

- Verossimilhança (em que  $\theta = (\beta', \sigma)^t$ ):

$$L(\theta) = \frac{\prod_{i=1}^n \Gamma(m_i + 1)}{\prod_{i=1}^n [\Gamma(y_i + 1)\Gamma(m_i - y + 1)]} \\ \times \frac{\left[\Gamma\left(\frac{1}{\sigma}\right)\right]^n \prod_{i=1}^n \left[\Gamma\left(y_i + \frac{\mu_i}{\sigma}\right)\Gamma\left(m_i + \frac{1-\mu_i}{\sigma} - y_i\right)\right]}{\prod_{i=1}^n \left[\Gamma\left(m_i + \frac{1}{\sigma}\right)\Gamma\left(\frac{\mu_i}{\sigma}\right)\Gamma\left(\frac{1-\mu_i}{\sigma}\right)\right]}.$$

# Inferência via MV

- Verossimilhança (em que  $\theta = (\beta', \sigma)'$ )

$$L(\theta) \propto \frac{\left[ \Gamma\left(\frac{1}{\sigma}\right) \right]^n \prod_{i=1}^n \left[ \Gamma\left(y_i + \frac{\mu_i}{\sigma}\right) \Gamma\left(m_i + \frac{1-\mu_i}{\sigma} - y_i\right) \right]}{\prod_{i=1}^n \left[ \Gamma\left(m_i + \frac{1}{\sigma}\right) \Gamma\left(\frac{\mu_i}{\sigma}\right) \Gamma\left(\frac{1-\mu_i}{\sigma}\right) \right]}.$$

# Inferência via MV

## ■ Logverossimilhança

$$\begin{aligned} l(\theta) &= n \ln \left[ \Gamma \left( \frac{1}{\sigma} \right) \right] + \sum_{i=1}^n \left\{ \ln \left[ \Gamma \left( y_i + \frac{\mu_i}{\sigma} \right) \right] + \ln \left[ \Gamma \left( m_i + \frac{1-\mu_i}{\sigma} - y_i \right) \right] \right. \\ &\quad \left. - \ln \left[ \Gamma \left( m_i + \frac{1}{\sigma} \right) \right] - \ln \left[ \Gamma \left( \frac{\mu_i}{\sigma} \right) \right] - \ln \left[ \Gamma \left( \frac{1-\mu_i}{\sigma} \right) \right] \right\} + \text{const} \\ &= n \ln \left[ \left( \frac{1}{\sigma} \right) \right] + \sum_{i=1}^n \left\{ g_{1i}(\mu_i, \sigma) + g_{2i}(\mu_i, \sigma) \right. \\ &\quad \left. - g_{3i}(\mu_i, \sigma) - g_{4i}(\mu_i, \sigma) - g_{5i}(\mu_i, \sigma) \right\} + \text{const.} \end{aligned}$$

# Inferência via MV

$$\mathbf{S}(\boldsymbol{\beta}) = \begin{bmatrix} \frac{\partial l(\boldsymbol{\beta}, \sigma)}{\partial \beta_1} \\ \frac{\partial l(\boldsymbol{\beta}, \sigma)}{\partial \beta_2} \\ \vdots \\ \frac{\partial l(\boldsymbol{\beta}, \sigma)}{\partial \beta_p} \end{bmatrix}; S(\sigma) = \frac{\partial l(\theta)}{\partial \sigma},$$

assim

$$\mathbf{S}(\theta) = \begin{bmatrix} \mathbf{S}(\boldsymbol{\beta}) \\ S(\sigma) \end{bmatrix}.$$

Cont.

$$\boldsymbol{H}(\boldsymbol{\beta}, \sigma) = \begin{bmatrix} \boldsymbol{H}_{11}(\boldsymbol{\beta}, \sigma) & \boldsymbol{H}_{12}(\boldsymbol{\beta}, \sigma) \\ \boldsymbol{H}_{21}(\boldsymbol{\beta}, \sigma) & H_{22}(\boldsymbol{\beta}, \sigma) \end{bmatrix},$$

$$\boldsymbol{H}_{11}(\boldsymbol{\beta}, \sigma) = \begin{bmatrix} \frac{\partial^2 I(\boldsymbol{\beta}, \sigma)}{\partial \beta_1^2} & \frac{\partial^2 I(\boldsymbol{\beta}, \sigma)}{\partial \beta_1 \partial \beta_2} & \cdots & \frac{\partial^2 I(\boldsymbol{\beta}, \sigma)}{\partial \beta_1 \partial \beta_p} \\ \vdots & \frac{\partial^2 I(\boldsymbol{\beta}, \sigma)}{\partial \beta_2^2} & \cdots & \frac{\partial^2 I(\boldsymbol{\beta}, \sigma)}{\partial \beta_2 \partial \beta_p} \\ \vdots & \vdots & \ddots & \vdots \\ \vdots & \vdots & \ddots & \frac{\partial^2 I(\boldsymbol{\beta}, \sigma)}{\partial \beta_p^2} \end{bmatrix}.$$

Cont.

$$\boldsymbol{H}_{12}(\boldsymbol{\beta}, \sigma) = \begin{bmatrix} \frac{\partial^2 I(\boldsymbol{\beta}, \sigma)}{\partial \beta_1 \partial \sigma} \\ \frac{\partial^2 I(\boldsymbol{\beta}, \sigma)}{\partial \beta_2 \partial \sigma} \\ \vdots \\ \frac{\partial^2 I(\boldsymbol{\beta}, \sigma)}{\partial \beta_p \partial \sigma} \end{bmatrix},$$

$$H_{22}(\boldsymbol{\beta}, \sigma) = \frac{\partial^2 I(\boldsymbol{\beta}, \sigma)}{\partial \sigma^2}.$$

# Inferência via MV

- Vetor escore ( $\beta$ )

$$\begin{aligned} S(\beta_j) &= \sum_{i=1}^n \left\{ \frac{\partial g_{1i}(\mu_i, \sigma)}{\partial \beta_j} + \frac{\partial g_{2i}(\mu_i, \sigma)}{\partial \beta_j} \right. \\ &\quad \left. - \frac{\partial g_{3i}(\mu_i, \sigma)}{\partial \beta_j} - \frac{\partial g_{4i}(\mu_i, \sigma)}{\partial \beta_j} - \frac{\partial g_{5i}(\mu_i, \sigma)}{\partial \beta_j} \right\}. \end{aligned}$$

- Função escore ( $\sigma$ )

$$\begin{aligned} S(\sigma) &= n \ln \frac{\partial \left[ \Gamma \left( \frac{1}{\sigma} \right) \right]}{\partial \sigma} + \sum_{i=1}^n \left\{ \frac{\partial g_{1i}(\mu_i, \sigma)}{\partial \sigma} + \frac{\partial g_{2i}(\mu_i, \sigma)}{\partial \sigma} \right. \\ &\quad \left. - \frac{\partial g_{3i}(\mu_i, \sigma)}{\partial \sigma} - \frac{\partial g_{4i}(\mu_i, \sigma)}{\partial \sigma} - \frac{\partial g_{5i}(\mu_i, \sigma)}{\partial \sigma} \right\}. \end{aligned}$$

# Inferência via MV

## ■ Hessiana ( $\beta$ )

$$\begin{aligned} H(\beta_j, \beta_I) &= \sum_{i=1}^n \left\{ \frac{\partial^2 g_{1i}(\mu_i, \sigma)}{\partial \beta_j \partial \beta_I} + \frac{\partial g_{2i}(\mu_i, \sigma)}{\partial^2 \beta_j \partial \beta_I} \right. \\ &\quad \left. - \frac{\partial^2 g_{3i}(\mu_i, \sigma)}{\partial \beta_j \partial \beta_I} - \frac{\partial^2 g_{4i}(\mu_i, \sigma)}{\partial \beta_j \partial \beta_I} - \frac{\partial^2 g_{5i}(\mu_i, \sigma)}{\partial \beta_j \partial \beta_I} \right\}. \end{aligned}$$

## ■ Hessiana ( $\sigma$ )

$$\begin{aligned} H(\sigma, \sigma) &= n \ln \frac{\partial^2 \left[ \Gamma \left( \frac{1}{\sigma} \right) \right]}{\partial \sigma^2} + \sum_{i=1}^n \left\{ \frac{\partial^2 g_{1i}(\mu_i, \sigma)}{\partial \sigma^2} + \frac{\partial^2 g_{2i}(\mu_i, \sigma)}{\partial \sigma^2} \right. \\ &\quad \left. - \frac{\partial^2 g_{3i}(\mu_i, \sigma)}{\partial \sigma^2} - \frac{\partial^2 g_{4i}(\mu_i, \sigma)}{\partial \sigma^2} - \frac{\partial^2 g_{5i}(\mu_i, \sigma)}{\partial \sigma^2} \right\}. \end{aligned}$$

# Inferência via MV

- Hessiana  $(\beta', \sigma)'$

$$\begin{aligned} H(\beta_j, \sigma) &= \sum_{i=1}^n \left\{ \frac{\partial^2 g_{1i}(\mu_i, \sigma)}{\partial \beta_j \partial \sigma} + \frac{\partial g_{2i}(\mu_i, \sigma)}{\partial^2 \beta_j \partial \sigma} \right. \\ &\quad \left. - \frac{\partial^2 g_{3i}(\mu_i, \sigma)}{\partial \beta_j \partial \sigma} - \frac{\partial^2 g_{4i}(\mu_i, \sigma)}{\partial \beta_j \partial \sigma} - \frac{\partial^2 g_{5i}(\mu_i, \sigma)}{\partial \beta_j \partial \sigma} \right\}. \end{aligned}$$

# Inferência via MV

- Em que

$$g_1(\mu_i, \sigma) = \ln \Gamma \left( y_i + \frac{\mu_i}{\sigma} \right);$$

$$g_2(\mu_i, \sigma) = \ln \Gamma \left( m_i + \frac{1 - \mu_i}{\sigma} - y_i \right);$$

$$g_3(\mu_i, \sigma) = \ln \Gamma \left( m_i + \frac{1}{\sigma} \right);$$

$$g_4(\mu_i, \sigma) = \ln \Gamma \left( \frac{\mu_i}{\sigma} \right);$$

$$g_5(\mu_i, \sigma) = \ln \Gamma \left( \frac{1 - \mu_i}{\sigma} \right).$$

## Cont.

- Temos que

$$\begin{aligned}\frac{\partial g_1(\mu_i, \sigma)}{\partial \beta_j} &= \frac{1}{\sigma} \Psi \left( y_i + \frac{\mu_i}{\sigma} \right) \frac{\partial \mu_i}{\partial \eta_i} \frac{\partial \eta_i}{\partial \beta_j} = \frac{1}{\sigma} \Psi \left( y_i + \frac{\mu_i}{\sigma} \right) \frac{\partial \mu_i}{\partial \eta_i} x_{ji}, \\ \frac{\partial g_2(\mu_i, \sigma)}{\partial \beta_j} &= -\frac{1}{\sigma} \Psi \left( m_i + \frac{1 - \mu_i}{\sigma} - y_i \right) \frac{\partial \mu_i}{\partial \eta_i} \frac{\partial \eta_i}{\partial \beta_j}, \\ &= -\frac{1}{\sigma} \Psi \left( m_i + \frac{1 - \mu_i}{\sigma} - y_i \right) \frac{\partial \mu_i}{\partial \eta_i} x_{ji},\end{aligned}$$

## Cont.

- Temos que

$$\frac{\partial g_3(\mu_i, \sigma)}{\partial \beta_j} = 0,$$

$$\frac{\partial g_4(\mu_i, \sigma)}{\partial \beta_j} = \frac{1}{\sigma} \Psi\left(\frac{\mu_i}{\sigma}\right) \frac{\partial \mu_i}{\partial \eta_i} \frac{\partial \eta_i}{\partial \beta_j} = \frac{1}{\sigma} \Psi\left(\frac{\mu_i}{\sigma}\right) \frac{\partial \mu_i}{\partial \eta_i} x_{ji},$$

$$\frac{\partial g_5(\mu_i, \sigma)}{\partial \beta_j} = -\frac{1}{\sigma} \Psi\left(\frac{1-\mu_i}{\sigma}\right) \frac{\partial \mu_i}{\partial \eta_i} \frac{\partial \eta_i}{\partial \beta_j} = -\frac{1}{\sigma} \Psi\left(\frac{1-\mu_i}{\sigma}\right) \frac{\partial \mu_i}{\partial \eta_i} x_{ji}.$$

## Cont.

- Temos que

$$\frac{\partial g_1(\mu_i, \sigma)}{\partial \sigma} = -\frac{\mu_i}{\sigma^2} \Psi\left(y_i + \frac{\mu_i}{\sigma}\right),$$

$$\frac{\partial g_2(\mu_i, \sigma)}{\partial \sigma} = -\frac{1-\mu_i}{\sigma^2} \Psi\left(m_i + \frac{1-\mu_i}{\sigma} - y_i\right),$$

$$\frac{\partial g_3(\mu_i, \sigma)}{\partial \sigma} = -\frac{1}{\sigma^2} \Psi\left(m_i + \frac{1}{\sigma}\right),$$

$$\frac{\partial g_4(\mu_i, \sigma)}{\partial \sigma} = -\frac{\mu_i}{\sigma^2} \Psi\left(\frac{\mu_i}{\sigma}\right),$$

$$\frac{\partial g_5(\mu_i, \sigma)}{\partial \sigma} = -\frac{1-\mu_i}{\sigma^2} \Psi\left(\frac{1-\mu_i}{\sigma}\right); \frac{\partial \ln \left[ \Gamma\left(\frac{1}{\sigma}\right) \right]}{\partial \sigma} = -\frac{1}{\sigma^2} \Psi\left(\frac{1}{\sigma}\right).$$

## Cont.

- Temos que

$$\begin{aligned}\frac{\partial^2 g_1(\mu_i, \sigma)}{\partial \beta_j \partial \beta_l} &= x_{ji} x_{li} \frac{1}{\sigma} \left[ \Psi' \left( y_i + \frac{\mu_i}{\sigma} \right) \left( \frac{\partial \mu_i}{\partial \eta_i} \right)^2 \frac{1}{\sigma} + \Psi \left( y_i + \frac{\mu_i}{\sigma} \right) \frac{\partial^2 \mu_i}{\partial \eta_i^2} \right], \\ \frac{\partial^2 g_2(\mu_i, \sigma)}{\partial \beta_j \partial \beta_l} &= -x_{ji} x_{li} \frac{1}{\sigma} \left[ -\Psi' \left( m_i + \frac{1 - \mu_i}{\sigma} - y_i \right) \left( \frac{\partial \mu_i}{\partial \eta_i} \right)^2 \frac{1}{\sigma} \right. \\ &\quad \left. + \Psi \left( m_i + \frac{1 - \mu_i}{\sigma} - y_i \right) \frac{\partial^2 \mu_i}{\partial \eta_i^2} \right], \\ \frac{\partial^2 g_3(\mu_i, \sigma)}{\partial \beta_j \partial \beta_l} &= 0,\end{aligned}$$

## Cont.

- Temos que

$$\frac{\partial^2 g_4(\mu_i, \sigma)}{\partial \beta_j \partial \beta_l} = x_{ji} x_{li} \frac{1}{\sigma} \left[ \Psi' \left( \frac{\mu_i}{\sigma} \right) \left( \frac{\partial \mu_i}{\partial \eta_i} \right)^2 \frac{1}{\sigma} + \Psi \left( \frac{\mu_i}{\sigma} \right) \frac{\partial^2 \mu_i}{\partial \eta_i^2} \right],$$

$$\frac{\partial^2 g_5(\mu_i, \sigma)}{\partial \beta_j \partial \beta_l} = x_{ji} x_{li} \frac{1}{\sigma} \left[ -\Psi' \left( \frac{1 - \mu_i}{\sigma} \right) \left( \frac{\partial \mu_i}{\partial \eta_i} \right)^2 \frac{1}{\sigma} + \Psi \left( \frac{1 - \mu_i}{\sigma} \right) \frac{\partial^2 \mu_i}{\partial \eta_i^2} \right].$$

# Cont.

- Temos que

$$\begin{aligned}\frac{\partial^2 g_1(\mu_i, \sigma)}{\partial \sigma^2} &= \mu_i \left[ \frac{2}{\sigma^3} \Psi \left( y_i + \frac{\mu_i}{\sigma} \right) + \frac{\mu_i}{\sigma^4} \Psi' \left( y_i + \frac{\mu_i}{\sigma} \right) \right], \\ \frac{\partial^2 g_2(\mu_i, \sigma)}{\partial \sigma^2} &= (1 - \mu_i) \left[ \frac{2}{\sigma^3} \Psi \left( m_i + \frac{1 - \mu_i}{\sigma} - y_i \right), \right. \\ &\quad \left. + \frac{1 - \mu_i}{\sigma^4} \Psi' \left( m_i + \frac{1 - \mu_i}{\sigma} - y_i \right) \right] \\ \frac{\partial^2 g_3(\mu_i, \sigma)}{\partial \sigma^2} &= \frac{2}{\sigma^3} \Psi \left( m_i + \frac{1}{\sigma} \right) + \frac{1}{\sigma^4} \Psi' \left( m_i + \frac{1}{\sigma} \right),\end{aligned}$$

## Cont.

- Temos que

$$\begin{aligned}\frac{\partial^2 g_4(\mu_i, \sigma)}{\partial \sigma^2} &= \mu_i \left[ \frac{2}{\sigma^3} \Psi\left(\frac{\mu_i}{\sigma}\right) + \frac{\mu_i}{\sigma^4} \Psi'\left(\frac{1-\mu_i}{\sigma}\right) \right], \\ \frac{\partial^2 g_5(\mu_i, \sigma)}{\partial \sigma^2} &= (1-\mu_i) \left[ \frac{2}{\sigma^3} \Psi\left(\frac{1-\mu_i}{\sigma}\right) + \frac{1-\mu_i}{\sigma^4} \Psi'\left(\frac{1-\mu_i}{\sigma}\right) \right], \\ \frac{\partial^2 \ln \left[ \Gamma\left(\frac{1}{\sigma^2}\right) \right]}{\partial \sigma} &= \frac{2}{\sigma^3} \Psi\left(\frac{1}{\sigma}\right) + \frac{1}{\sigma^4} \Psi'\left(\frac{1}{\sigma}\right).\end{aligned}$$

## Cont.

- Temos que

$$\begin{aligned}\frac{\partial g_1(\mu_i, \sigma)}{\partial \beta_j \partial \sigma} &= -\frac{1}{\sigma^2} \frac{\partial \mu_i}{\partial \eta_i} x_{ji} \left[ \Psi \left( y_i + \frac{\mu_i}{\sigma} \right) + \frac{\mu_i}{\sigma} \Psi' \left( y_i + \frac{\mu_i}{\sigma} \right) \right], \\ \frac{\partial g_2(\mu_i, \sigma)}{\partial \beta_j \partial \sigma} &= \frac{1}{\sigma^2} \frac{\partial \mu_i}{\partial \eta_i} x_{ji} \left[ \Psi \left( m_i + \frac{1-\mu_i}{\sigma} - y_i \right), \right. \\ &\quad \left. + (1-\mu_i) \Psi' \left( m_i + \frac{1-\mu_i}{\sigma} - y_i \right) \right] \\ \frac{\partial g_3(\mu_i, \sigma)}{\partial \beta_j \partial \sigma} &= 0,\end{aligned}$$

## Cont.

- (cont.) Temos que

$$\begin{aligned}\frac{\partial g_4(\mu_i, \sigma)}{\partial \beta_j \partial \sigma} &= -\frac{\partial \mu_i}{\partial \eta_i} x_{ji} \frac{1}{\sigma^2} \left[ \Psi\left(\frac{\mu_i}{\sigma}\right) + \mu_i \Psi'\left(\frac{\mu_i}{\sigma}\right) \frac{1}{\sigma} \right], \\ \frac{\partial g_5(\mu_i, \sigma)}{\partial \beta_j \partial \sigma} &= \frac{1}{\sigma^2} \frac{\partial \mu_i}{\partial \eta_i} x_{ji} \left[ \Psi\left(\frac{1-\mu_i}{\sigma}\right) + \Psi'\left(\frac{1-\mu_i}{\sigma}\right) \frac{1-\mu_i}{\sigma} \right].\end{aligned}$$

# Inferência via MV

- Podemos notar que o sistema  $\begin{cases} \mathbf{S}(\tilde{\beta}) = \mathbf{0}_{(p \times 1)} \\ S(\tilde{\sigma}) = 0 \end{cases}$  não apresenta solução analítica. Assim, algum método numérico deverá ser empregado e, nesse caso, utilizaremos o algoritmo de Newton-Raphson (o qual usa a matriz Hessiana ao invés da informação de Fisher).
- A obtenção da Informação de Fisher (esperada) é complicada.
- Exercício: escrever de forma matricial as quantidades  $\mathbf{S}(\beta, \sigma)$  e  $H(\beta, \sigma)$  e/ou escrever o código em R para implementar o algoritmo de Newton-Raphson.

# Algoritmo de Newton-Raphson

- O algoritmo de Newton-Raphson (ANR) é definido como: Sejam  $\beta^{(0)}$  e  $\sigma^{(0)}$  estimativas iniciais de  $\beta$  e  $\sigma$  (chutes iniciais), respectivamente, então faça

$$\begin{bmatrix} \beta^{(t+1)} \\ \sigma^{(t+1)} \end{bmatrix} = \begin{bmatrix} \beta^{(t)} \\ \sigma^{(t)} \end{bmatrix} + \begin{bmatrix} H_{11}(\beta^{(t)}, \sigma^{(t)}) & H_{12}(\beta^{(t)}, \sigma^{(t)}) \\ H_{21}(\beta^{(t)}, \sigma^{(t)}) & H_{22}(\beta^{(t)}, \sigma^{(t)}) \end{bmatrix}^{-1} \begin{bmatrix} S(\beta^{(t)}) \\ S(\sigma^{(t)}) \end{bmatrix}$$

$t = 0, 1, 2, \dots$ , até que algum critério de convergência seja satisfeito, por exemplo  $\|\theta^{(t+1)} - \theta^{(t)}\| < \epsilon$  para algum  $\epsilon > 0$  e  $\theta = (\beta', \sigma)'$ .

## Cont.

- Uma vez que a obtenção da informação de Fisher (esperada) é complicada, podemos utilizar a informação observada  $I_O(\beta, \sigma) = -H(\beta, \sigma)$ , pois, sob certa condições de regularidade, temos que

$$|I_O(\beta, \sigma) - I(\beta, \sigma)| \xrightarrow[n \rightarrow \infty]{P} \mathbf{0}_{(p+1) \times (p+1)}$$

para construir os resultados inferenciais assintóticos.

## Cont.

- Neste caso (sob as condições de regularidade supramencionadas), para  $n$  suficientemente grande, temos que

$$\hat{\beta} \approx N_p(\beta, Cov(\beta)), \hat{\sigma} \approx N(\sigma, V(\sigma)),$$

em que:

$$\begin{bmatrix} Cov(\hat{\beta}) & Cov(\hat{\beta}, \hat{\sigma}) \\ Cov(\hat{\sigma}, \hat{\beta}) & V(\hat{\sigma}) \end{bmatrix} = - \begin{bmatrix} H_{11}(\beta, \sigma) & H_{12}(\beta, \sigma) \\ H_{21}(\beta, \sigma) & H_{22}(\beta, \sigma) \end{bmatrix}^{-1}$$

- Os resultados apresentados anteriormente para o modelo **binomial negativo** (**intervalos de confiança e testes de hipótese**) continuam válidos, com as devidas modificações.

# Comparação de modelos e validação

- Os critérios e informação podem ser calculados calculadas de forma semelhante ao que fora feito para os MLG ([aqui](#)).
- Pesquisar sobre o comportamento assintótico da função desvio.
- Verificação da qualidade de ajuste do modelo: **resíduo quantílico aleatorizado**.
- Mais detalhes sobre aspectos inferenciais, veja [aqui](#) e [aqui](#).
- Veja também [aqui](#) e [aqui](#).

## Exemplo 10: germinação de sementes de Orobanche

- Orobanche: tipo de organismo vegetal (planta).
- Os dados foram obtidos a partir de um estudo sobre germinação de duas espécies de sementes de Orobanche (*O. aegyptiaca* 75 e *O. aegyptiaca* 73), veja (Hinde e Demétrio (1998)). Correspondem à quantidade de sementes analisadas ( $m$ ) e germinadas ( $y$ ) e tem-se o interesse na resposta  $y/m$  (conjunto de sementes).

## Cont.

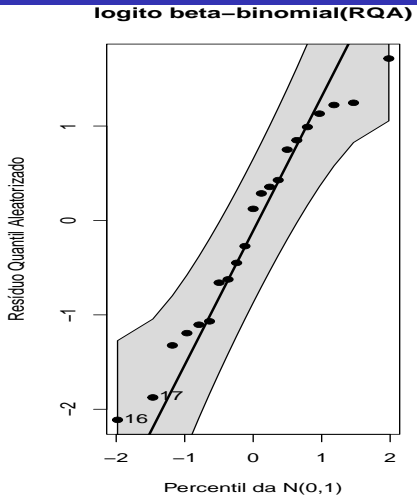
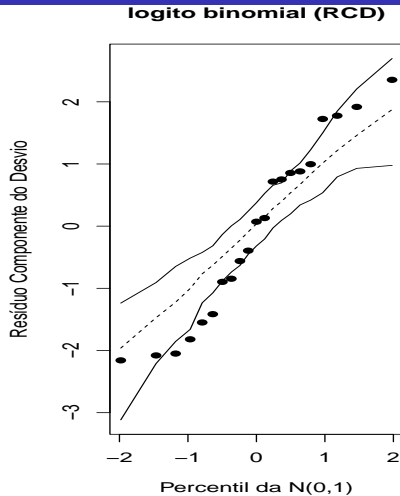
- As sementes foram cultivadas em diluições de 1/125 a partir de dois tipos de extrato de raiz (pepino ou feijão), em um esquema fatorial  $2 \times 2$  com replicações.
- Objetivo: avaliar o comportamento de cada espécie, sob cada um dos tipos de extrato, em termos da capacidade de germinação.

# Modelo beta-binomial

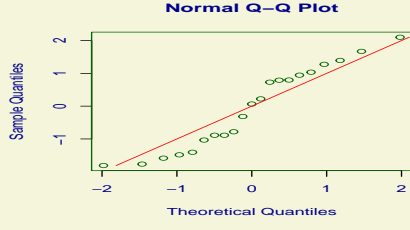
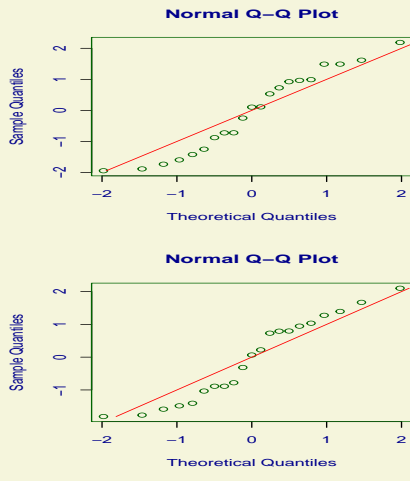
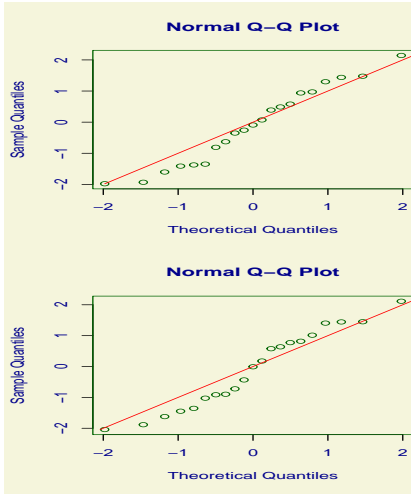
$$\begin{aligned} Y_{ijk} &\stackrel{ind.}{\sim} \text{bb}(m_{ijk}, \mu_{ij}, \sigma) \\ \ln \left( \frac{\mu_{ij}}{1 - \mu_{ij}} \right) &= \alpha + \beta_i + \gamma_j + (\beta\gamma)_{ij}, \quad i = 1, 2, j = 1, 2, k = 1, 2, \dots, n_{ij} \\ \beta_1 = \gamma_1 &= (\beta\gamma)_{1j} = (\beta\gamma)_{i1} = 0, \quad \forall i, j. \end{aligned}$$

- $n_{ij}$  : número total de sementes pertencentes a  $i$ -ésima espécie (1: O.aegyptiaca73, 2: O.aegyptiaca75) e tratados com o  $j$ -ésimo tipo de extrato (1: feijão, 2: pepino),  $n_{11} = 5, n_{12} = 5, n_{21} = 5, n_{22} = 6$ .
- $Y_{ijk}$  : é o total de sementes germinadas na  $k$ -ésimo réplica, pertencentes à  $i$ -ésima espécie, e tratadas com o  $j$ -ésimo tipo de extrato vegetal.

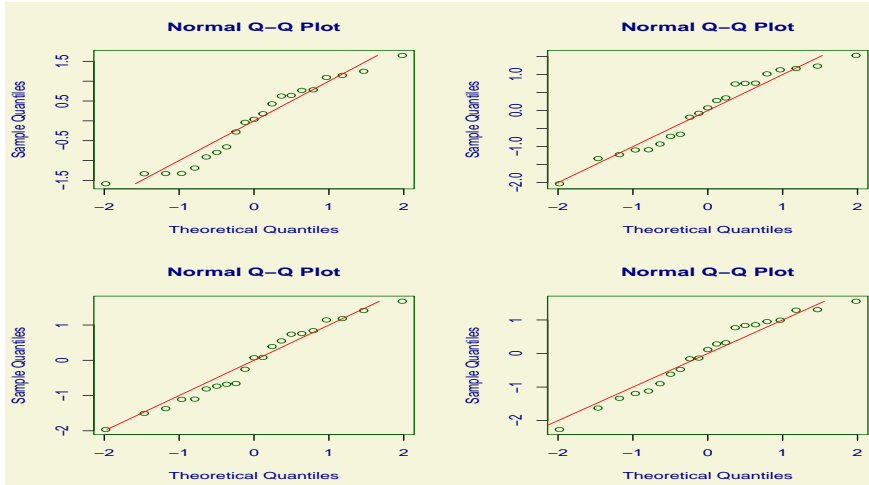
# Gráficos de envelope: modelos binomial e beta-binomial



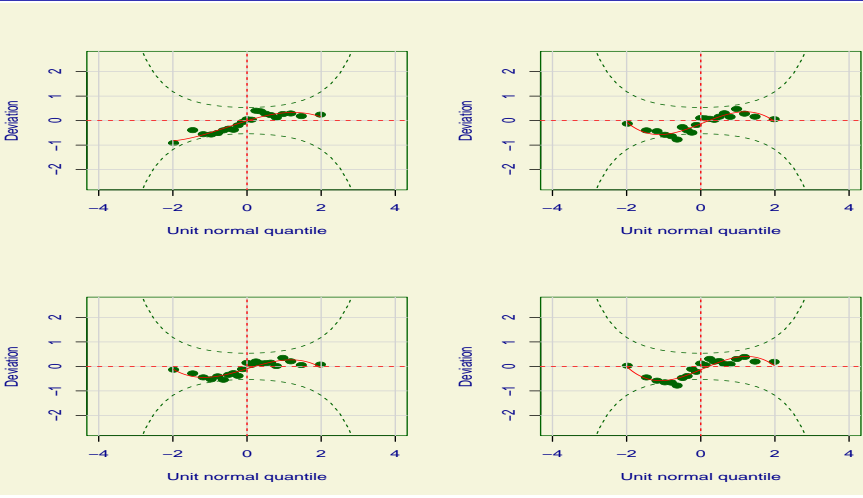
# QQ plots RQA: modelos binomial



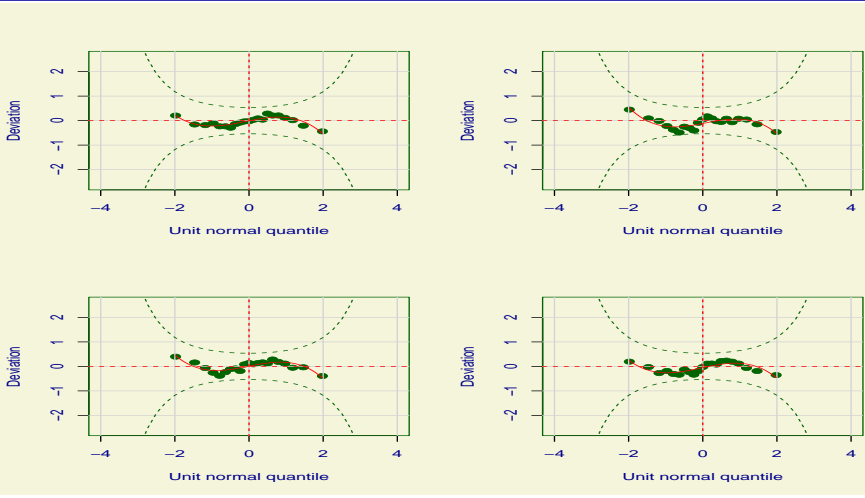
# QQ plots RQA: modelo beta-binomial



# Worm plots RQA: modelo binomial



# Worm plots RQA: modelo beta binomial



# Comparação entre os modelos

Modelo	AIC	BIC	AICc	SABIC	HQCIC	CAIC	DABM
bin.	117,874	122,052	120,374	109,704	118,781	126,052	0,106
bb	117,534	122,756	121,534	107,321	118,667	127,756	0,105

## Estimativas (gamlss) dos parâmetros: modelos bin. e bb

Modelo	Parâm.	Est.	EP	IC(95%)	Estat.	Z <sub>t</sub>	p-valor
binomial	$\alpha$	-0,41	0,18	[-0,77 ; -0,05]	-2,24		0,0389
	$\beta_2$	-0,15	0,22	[-0,58 ; 0,29]	-0,65		0,5219
	$\gamma_2$	0,54	0,25	[ 0,05 ; 1,03]	2,16		0,0452
	$(\beta\gamma)_{22}$	0,78	0,31	[0,18 ; 1,38]	2,54		0,0212
beta-binomial	$\alpha$	-0,44	0,22	[-0,87 ; -0,02]	-2,05		0,0587
	$\beta_2$	-0,10	0,27	[-0,63 ; 0,44]	-0,36		0,7266
	$\gamma_2$	0,52	0,30	[-0,06 ; 1,10]	1,76		0,0978
	$(\beta\gamma)_{22}$	0,80	0,38	[0,06 ; 1,54]	2,11		0,0510
	$\sigma$	0,013	0,012	[0,00;0,035]*	-		-

(\*) truncado à esquerda do zero

## Observações

- O modelo bb se ajustou bem aos dados e melhor do que o modelo binomial.  
Assim, escolheremos o modelo bb.
- Usualmente, retirar-se-ia o parâmetro que representa a interação  $(\alpha\beta)_{22}$ .  
Contudo, dado que o p-valor associado ao teste de nulidade para  $\beta_2$  é maior  
do que para  $(\alpha\beta)_{22}$ , vamos ajustar um modelo sem  $(\beta_2)$ .
- Com efeito (modelo binomial):

Modelo	AIC	BIC	AICc	SABIC	HQCIC	CAIC
$\beta_2 = 0$	115,66	119,84	118,16	107,49	116,57	123,84
$(\beta\gamma)_{22} = 0$	119,66	123,84	122,16	111,49	120,57	127,84

## Modelo 2

$$\begin{aligned} Y_{ijk} &\stackrel{\text{ind.}}{\sim} \text{bb}(m_{ijk}, \mu_{ij}, \sigma) \\ \ln\left(\frac{\mu_{ij}}{1 - \mu_{ij}}\right) &= \alpha + \gamma_j + \delta_{ij}, \quad i = 1, 2, j = 1, 2, k = 1, 2, \dots, n_{ij} \\ \gamma_1 &= \delta_{1j} = \delta_{i1} = 0, \quad \forall i, j. \end{aligned}$$

- $n_{ij}$  : número total de sementes pertencentes a  $i$ -ésima espécie (1: O.aegyptiaca73, 2: O.aegyptiaca75) e tratados com o  $j$ -ésimo tipo de extrato (1: feijão, 2: pepino),  $n_{11} = 5, n_{12} = 5, n_{21} = 5, n_{22} = 6$ .
- $Y_{ijk}$  : é o total de sementes germinadas na  $k$ -ésimo réplica, pertencentes à  $i$ -ésima espécie, e tratadas com o  $j$ -ésimo tipo de extrato vegetal.

# Modelo 2

## ■ Médias induzidas pelo modelo 2

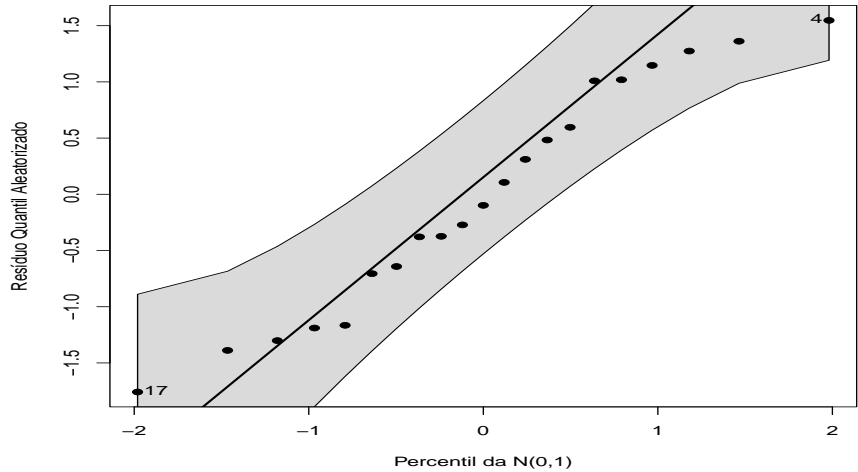
$$\mu_{11} = \frac{e^\alpha}{1 + e^\alpha} \text{ (73, feijão)}$$

$$\mu_{12} = \frac{e^{\alpha+\gamma_2}}{1 + e^{\alpha+\gamma_2}} \text{ (73, pepino)}$$

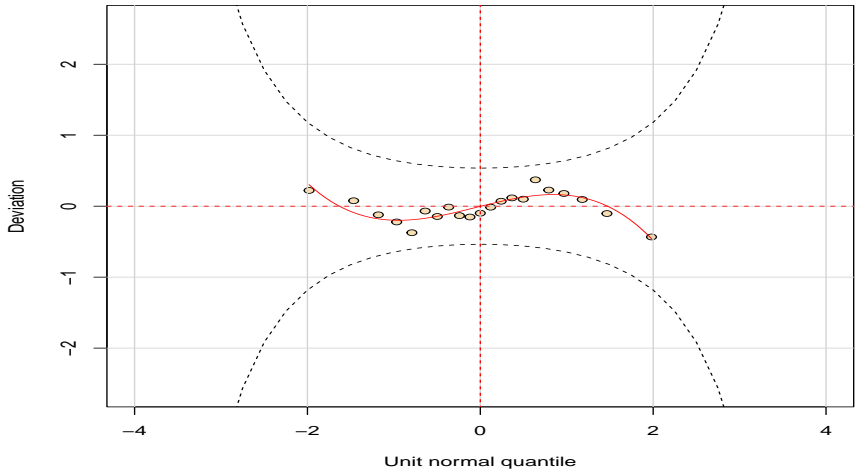
$$\mu_{21} = \frac{e^\alpha}{1 + e^\alpha} \text{ (75, feijão)}$$

$$\mu_{22} = \frac{e^{\alpha+\gamma_2+\delta_{22}}}{1 + e^{\alpha+\gamma_2+\delta_{22}}} \text{ (75, pepino)}$$

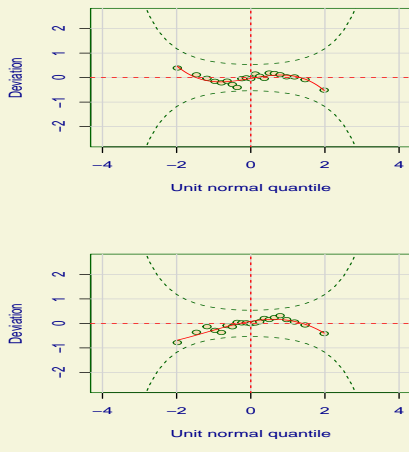
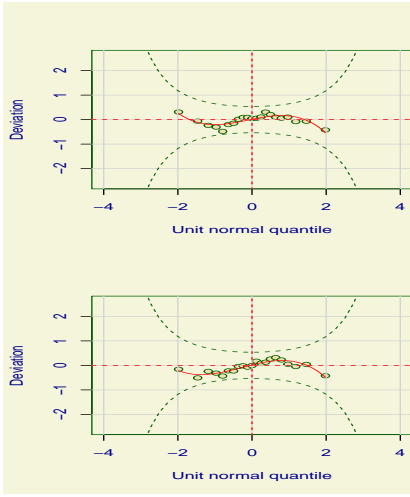
## Gráfico de envelope: modelo 2



## Worm plot: modelo 2



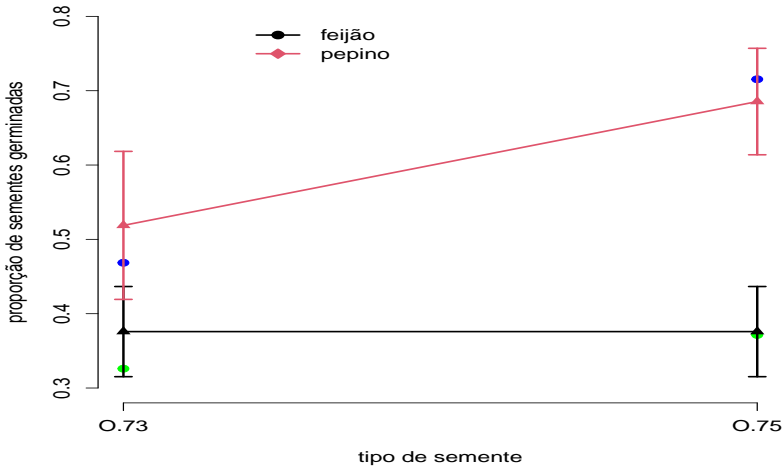
## Worm plots: modelo 2



## Estimativas dos parâmetros: modelo 2

Parâm.	Est.	EP	IC(95%)	Estat.	$Z_t$	p-valor
$\alpha$	-0,51	0,13	[-0,77 ; -0,25]		-3,84	0,0012
$\gamma_2$	0,58	0,24	[0,11 ; 1,06]		2,40	0,0274
$\delta_{22}$	0,70	0,26	[0,18 ; 1,22]		2,66	0,0161
$\sigma$	0,013	0,378		-	-	-

## Médias observadas e preditas



# Médias preditas

Grupo	Est.	EP	IC(95%)
Feijão-O73	0,38	0,03	[0,32;0,44]
Feijão-O73	0,38	0,03	[0,32;0,44]
Pepino-O73	0,52	0,05	[0,42;0,62]
Pepino-O75	0,69	0,04	[0,61;0,76]

Melhor desempenho: Sementes do tipo O75 para as quais se usou extrato de pepino.

# Comentários

- As conclusões entre o modelo beta binomial (bem ajustado) e binomial (mal ajustado) foram diferentes.
- Enquanto que o modelo binomial indicou presença de interação e efeito dos dois fatores (as quatro proporções médias são diferentes entre si), o modelo bb também identificou interação, mas efeito de tipo de semente somente para o extrato “pepino”.
- Pesquisar sobre análise de influência para modelos de regressão beta binomiais.